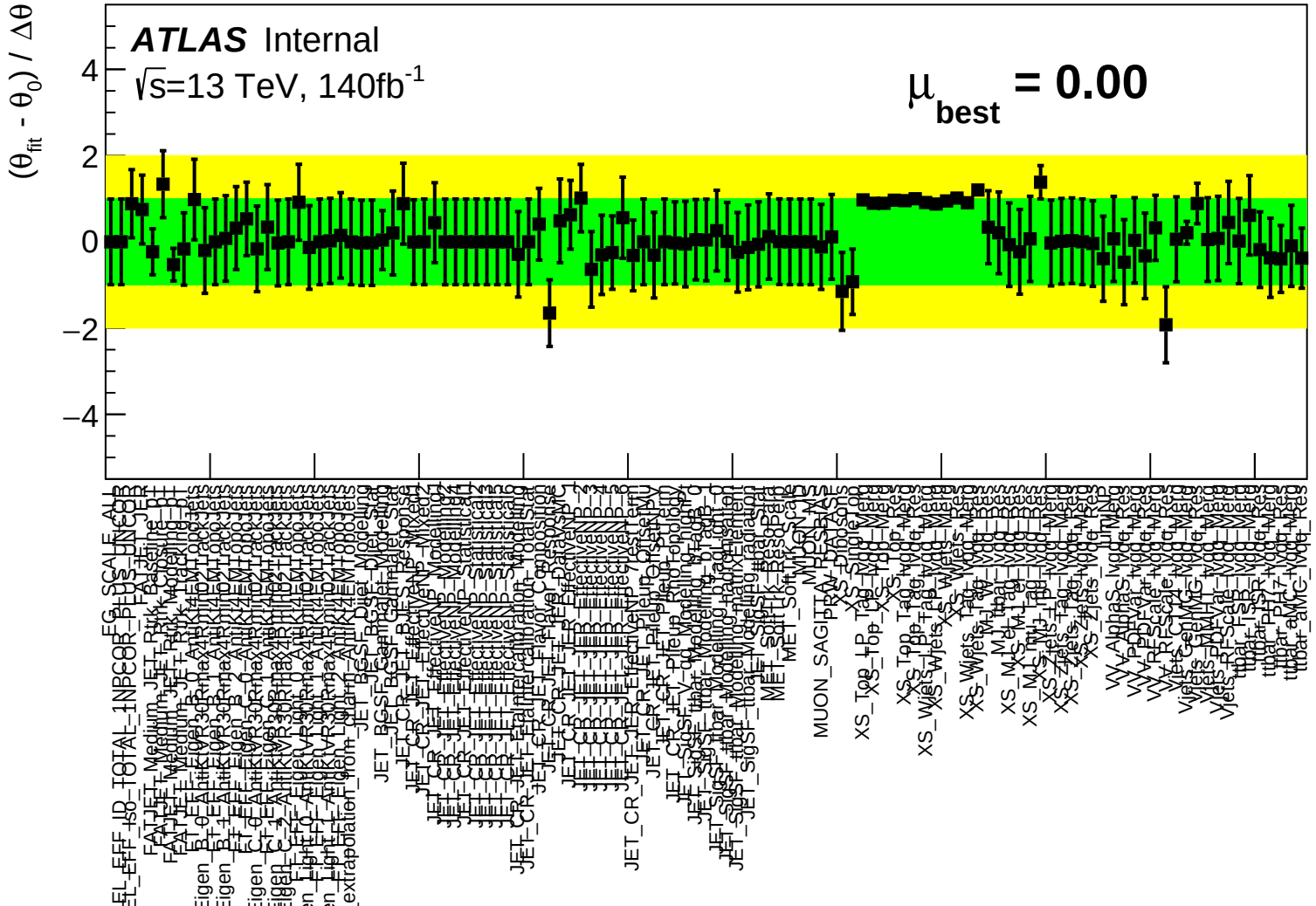
ATLAS Internal
√s=13 TeV, 140fb-1
μbest = 0.00
(θfit - θ0) / Δθ
4
2
0
−2
−4
EL_EFF_ID_TOTAL_1NPCOR_PLUS_UNCORR
EG_SCALE_ALL
JET_Medium_JET_Rtrk_Baseline_pT
JET_Medium_JET_Rtrk_Modelling_pT
JET_Medium_JET_Rtrk_Tracking_pT
JET_Medium_JET_Rtrk_TotalStat_pT
JET_Medium_JET_Rtrk_VR30rho2_pT
JET_Medium_JET_Rtrk_VR30rho4_pT
JET_Medium_JET_Rtrk_VR30rho6_pT
JET_Medium_JET_Rtrk_VR30rho8_pT
JET_Medium_JET_Rtrk_VR30rho10_pT
JET_Medium_JET_Rtrk_VR30rho12_pT
JET_Medium_JET_Rtrk_VR30rho14_pT
JET_Medium_JET_Rtrk_VR30rho16_pT
JET_Medium_JET_Rtrk_VR30rho18_pT
JET_Medium_JET_Rtrk_VR30rho20_pT
JET_Medium_JET_Rtrk_VR30rho22_pT
JET_Medium_JET_Rtrk_VR30rho24_pT
JET_Medium_JET_Rtrk_VR30rho26_pT
JET_Medium_JET_Rtrk_VR30rho28_pT
JET_Medium_JET_Rtrk_VR30rho30_pT
JET_Medium_JET_Rtrk_VR30rho32_pT
JET_Medium_JET_Rtrk_VR30rho34_pT
JET_Medium_JET_Rtrk_VR30rho36_pT
JET_Medium_JET_Rtrk_VR30rho38_pT
JET_Medium_JET_Rtrk_VR30rho40_pT
JET_Medium_JET_Rtrk_VR30rho42_pT
JET_Medium_JET_Rtrk_VR30rho44_pT
JET_Medium_JET_Rtrk_VR30rho46_pT
JET_Medium_JET_Rtrk_VR30rho48_pT
JET_Medium_JET_Rtrk_VR30rho50_pT
JET_Medium_JET_Rtrk_VR30rho52_pT
JET_Medium_JET_Rtrk_VR30rho54_pT
JET_Medium_JET_Rtrk_VR30rho56_pT
JET_Medium_JET_Rtrk_VR30rho58_pT
JET_Medium_JET_Rtrk_VR30rho60_pT
JET_Medium_JET_Rtrk_VR30rho62_pT
JET_Medium_JET_Rtrk_VR30rho64_pT
JET_Medium_JET_Rtrk_VR30rho66_pT
JET_Medium_JET_Rtrk_VR30rho68_pT
JET_Medium_JET_Rtrk_VR30rho70_pT
JET_Medium_JET_Rtrk_VR30rho72_pT
JET_Medium_JET_Rtrk_VR30rho74_pT
JET_Medium_JET_Rtrk_VR30rho76_pT
JET_Medium_JET_Rtrk_VR30rho78_pT
JET_Medium_JET_Rtrk_VR30rho80_pT